

수치시뮬레이션을 이용한 흡입식 슬러지 수집기의 유동해석

서상호* · 노형운** · 변종훈***

Flow Analysis of the Rotating Sludge Suction Collector by Numerical Simulation

Sang-Ho Suh*, Hyung-Woon Roh**, Jong-Youn Byun***

KeyWords : Sludge Suction Collector(흡입식 슬러지 수집기), Clarifier(침전지), Orifice(오리피스), Flow Characteristics(유동특성), Numerical simulation(수치시뮬레이션)

ABSTRACT

Sedimentation phenomenon of suspended solids occurs by the gravitational force. Pollution particles are separated from slowly flowing waste water in clarifier. Recently, the sludge suction collector is preferred rather than the scraper type sludge collector due to the enhancement of the clarifier efficiency. The sludge suction collector is usually operated by the user's experiences without any scientific and/or technical consideration. To evaluate the performance of sludge suction collector, the three dimensional numerical simulation was conducted by the finite volume method. To analyze the performance, the velocity vectors and the suction flow rates of the orifices were investigated. The result showed that each suction flow rate through out the collector was equivalent in the sludge suction collector and the efficiency of suction collector was good to remove high concentrated sludge in clarifier.

1. 서론

침전현상이란 물보다 무거운 부유물질이 중력에 의해 물로부터 분리되어 가라앉는 것이다. 이 원리를 이용하여 오염물을 넓은 공간에 천천히 유입시켜 오염입자를 분리하는 것이 침전지이다. 침전지의 주요 목적

은 깨끗한 상징액을 분리해내는 것이지만 운반 및 처리에 손쉬운 농도의 슬러지를 만들기 위한 목적도 가지고 있다.

침전지는 형태에 따라 장방형과 원형으로 나뉘는데 장방형은 체인 플라이트식 슬러지 수집기(chain flight type sludge collector), 원형 침전지는 원형 스크래퍼식 슬러지 수집기(circular scraper-type sludge collector)가 일반적으로 사용된다⁽¹⁾.

이중 원형침전에서 스크래퍼식 슬러지 수집기의 경우 다수의 스크래퍼를 사용함으로써 슬러지 제거시간이 길어지고, 제거시 교란으로 인한 슬러지 농축현

* 숭실대학교 기계공학과 교수

** 아이베이 대표

*** 효림산업(주)

책임저자 E-mail : suhsangho@rocketmail.com

려하여 침전지의 중심부에서 원주 방향으로 점차 단면이 감소하도록 제작된다. 이때 헤더의 크기에 따라 달라지지만 최소 오리피스 크기는 50~75 mm (2~3") 정도로 하는 것이 일반적이다. 또한, 오리피스의 간격은 762 mm (30") 이내인 등간격을 유지시키고 헤더 단면은 유량과 유속을 고려하여 4각 단면의 테이퍼 형상으로 크기를 선정하였다. 제거된 슬러지는 침전지의 중심부로 이동되며 매니폴더 내로 유입되어 배출 배관으로 배출하게 된다.

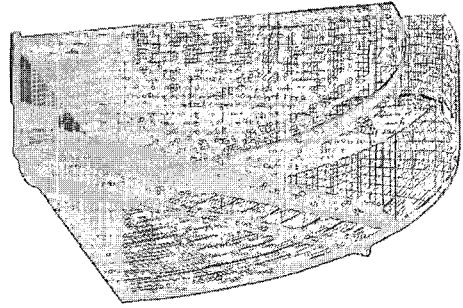


Fig. 2 Computational meshes of the suction sludge collector

3. 수치해석

3.1. 지배방정식

기하학적 형상이 복잡한 흡입식 슬러지 수집기내 유동변수인 속도와 압력을 구하기 위하여 시간 평균화된 연속방정식과 Navier-Stokes 방정식을 텐서형으로 나타내면 각각 식 (1) 및 식 (2)와 같다⁽⁶⁾.

$$\frac{\partial u_j}{\partial x_j} = 0 \quad (1)$$

$$\rho u_j \frac{\partial u_i}{\partial x_j} = -\frac{\partial p}{\partial x_i} + \frac{\partial}{\partial x_j} \left[\mu_e \left(\frac{\partial u_i}{\partial x_j} + \frac{\partial u_j}{\partial x_i} \right) \right] \quad (2)$$

여기서, u_i 는 속도벡터이고, p 는 밀도 (density), μ_e 는 유효점성계수 (effective viscosity)이며, p 는 각각 정압을 나타낸다.

흡입식 슬러지 수집기내 유동장 문제에 대한 지배방정식을 해석하기 위하여 유한체적법을 이용하여 비엇물림 격자계 (non-staggered grid system)에 대한 이산화방정식을 구하였다. 지배방정식의 대류항은 HYBRID 방법을 이용하였다. 또한, 운동량방정식의 압력항 처리는 압력수정방법을 이용하는 SIMPLE-C 방법을 적용하여 압력수정에 관한 근사 이산화방정식을 압력과 속도의 상관관계를 고려한 연속방정식의 이산화방정식으로부터 구하였다⁽⁶⁾⁻⁽⁸⁾. 본 연구에서는 CFX 4.4를 이용하여 해석하였다⁽⁹⁾.

3.2. 적용된 모델

본 연구에 적용된 흡입식 슬러지 수집기의 시방은 아래와 같다.

- 슬러지 수집기 크기 : $\Phi 28\text{m} \times \text{SWD } 3.2\text{m}$
- 처리량 : 15,000 m³/day
- 반송 슬러지율 : 60~100 %
- 회전 속도 : 0.03~0.04 rpm
- 슬러지 유입 파이프 : $\Phi 600\text{ mm}$
- 슬러지 유출 파이프 : $\Phi 350\text{ mm}$
- 오리피스 크기 : $\Phi 50\text{ mm}$ 이상
- 튜브 헤더 내 유속 : 0.15 m/sec 이상
- 헤더 단면 : 4각 단면의 테이퍼 형상

수치시뮬레이션에 적용된 흡입식 슬러지 수집기의 격자계는 Fig. 2와 같다. Fig. 2에서 볼 수 있지만 흡입식 슬러지 수집기의 모형은 실측으로 동일하게 하고 대칭성을 고려하여 전체의 1/4만 모델링하였다. Fig. 2의 가운데서 반송량을 고려하여 24,000 m³/day의 유입량이 들어오는데 유동의 교란 및 단락류로 인한 슬러지의 부상을 막기 위하여 중심으로부터 2.285 m에 피드웰 (배플)이 설치되도록 하였다. 하루 동안 24,000 m³으로 유입된 유량은 weir로 60%, 그리고 오리피스로 40% 정도 반송되도록 설치되어 있다. 수치해석시 흡입식 슬러지 수집기에 들어가는 구동장치, 중앙지주, 센터케이지, 피드웰, 보조암, 매니폴드 등은 무시하였다. 또한, 본 연구에서는 헤더가 0.03~0.04 rpm으로 회전하는 것을 고려하였다.

4. 결과 및 검토

4.1. 원형침전지 내 유동장

원형침전지 내 유동장을 해석하기 위하여 먼저 청수 ($\mu=1\text{ cp}$)인 경우의 유동장 해석 결과를 Fig. 3에 나

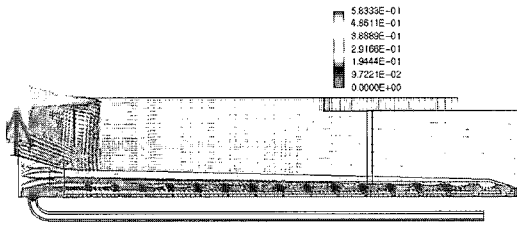


Fig. 3 Velocity vectors in the suction sludge collector (60%:40%, 1cp)

타내었다. Fig. 3을 통해 전체적인 유동장을 살펴 본 결과 흡입식 슬러지 수집기 내 유동장은 슬러지의 부상 (sludge rising)을 억제시키고 있음을 알 수 있었다. 또한, 헤더 내에서 슬러지가 쌓이지 않도록 0.15m/s 이상의 유속이 유지되도록 설계를 하였는데, 이 결과를 확인하여 본 결과 속도가 0.18m/s 이상이므로 예상 설계속도를 충분히 만족하고 있음을 알 수 있었다. 이러한 유동장으로부터 슬러지가 침전지 단위면적당 균일하게 제거되며, 다양한 유량의 변화에서도 완전한 제거가 이루어짐을 알 수 있었다.

이 점을 좀 더 자세히 살펴보기 위하여 Fig. 4와 같이 누계 흡입량을 백분율로 나타내었다. Fig. 4에는 흡입식 슬러지 수집기 내에서 이론적으로 슬러지를 흡입할 수 있는 능력을 반경비로 나타낸 것이다. 즉, 이론적인 슬러지 흡입량으로부터 헤더의 길이에 따른 오리

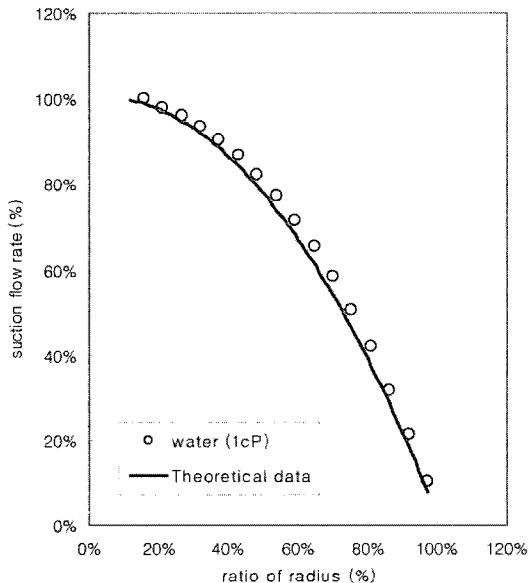


Fig. 4 Suction flow rates versus the ratio of radius(%)

피스의 개수와 직경을 계산하였다. Fig. 4에서 ○로 나타낸 계산 결과는 이론값보다 좀 더 많이 흡입되고 있음을 알 수 있다. 이는 슬러지의 점성계수와 회전을 고려하지 않았기 때문으로 판단된다.

4.2. 튜브헤더의 회전에 따른 흡입식 슬러지 수집기 내 유동해석

4.1절은 튜브헤더가 고정된 경우를 해석한 것이다.

그러나 실제로 흡입식 슬러지 수집기 내 튜브헤더는 0.03 rpm으로 회전을 하면서 슬러지들을 빨아들이고 있다. 따라서 본 연구에서는 Fig. 5와 같이 튜브헤더가 시계방향으로 회전하였을 때 수치격자를 나타낸 것이다.

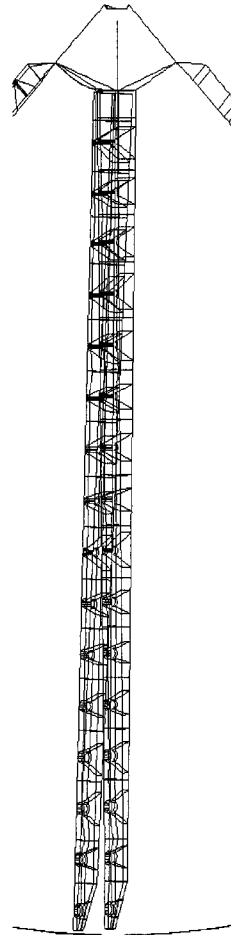


Fig. 5 Schematic of the rotating sludge header

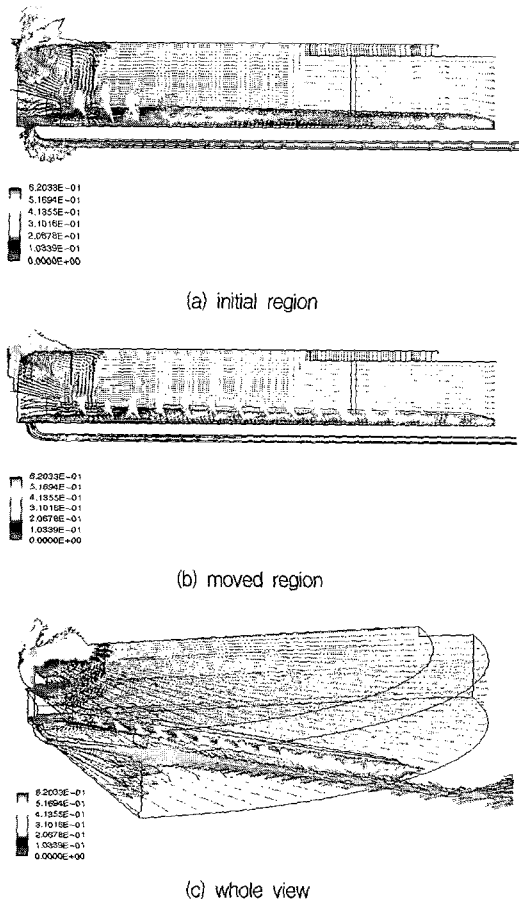


Fig. 6 Velocity vectors in the suction sludge collector with rotating header

유동특성의 차이는 없고 회전이 될 경우에도 마찬가지로 흡입식 슬러지 수집기 내 유동장은 단락류가 없고, 유동이 안정되어 침전이 없음을 보여주고 있다. 또한 Fig. 6에서 보면 헤더 내에서 슬러지가 쌓이지 않도록 0.15 m/s 이상의 유속이 유지되도록 설계를 하였는데, 이 결과를 확인하여 본 결과 0.18 m/s 이상이므로 예상 설계속도를 원활히 만족하고 있음을 알 수 있었다. 이러한 유동장으로부터 슬러지가 침전지 단위 면적당 균일하게 제거되며, 다양한 유량의 변화에서도 완전한 제거가 이루어짐을 알 수 있었다.

그러나 유동속도장에서 가장 큰 차이점은 시계방향으로의 회전으로 인하여 전체적으로 시계방향으로 큰 속도분포를 가지고 있음을 알 수 있다. 특히 튜브헤더의 끝 부분에 속도가 가장 큼을 알 수 있다.

이러한 유동특성을 정확히 살펴보기 위하여 Fig. 7

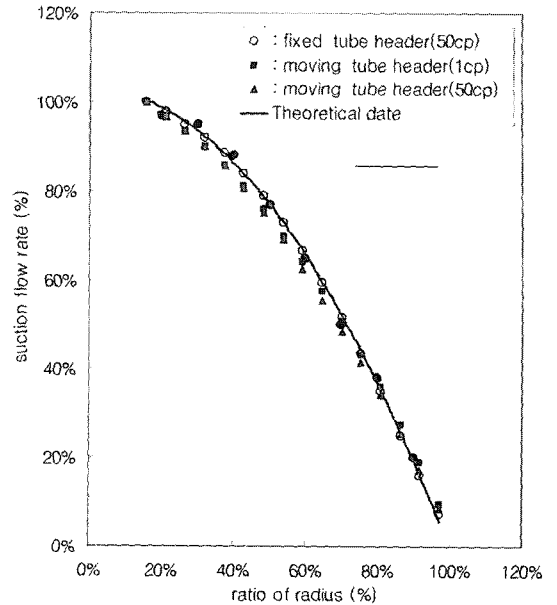


Fig. 7 Suction flow rates versus the ratio of radius for the moving tube header and the fixed tube header

에 헤더의 움직임에 따른 누계 흡입량을 백분율로 나타내었다. Fig. 7에서 볼 수 있듯이 점성계수가 50 cp 인 경우는 튜브헤더 회전시 튜브헤더가 고정되었을 경우의 유동결과에 비해서 튜브헤더 외곽 오리피스 흡입율은 증가하지만 중앙 오리피스의 흡입율이 감소한 것으로 판단된다. 점성계수가 1 cp 인 경우는 회전의 영향이 보다 적게 나타나서 이론값과 좀 더 근접하고 있음을 알 수 있다.

이러한 결과는 튜브헤더의 회전속도로 인해 각각의 오리피스 흡입량에 영향을 미쳤고, 점도가 커짐에 따라 그 영향도 커진다고 할 수 있다.

5. 결론

흡입식 슬러지 수집기 튜브헤더의 유동을 평가한 결과는 다음과 같다.

- 1) 흡입식 슬러지 수집기의 가운데에서 유입된 유동은 퍼드웰을 만나 큰 재순환영역을 이루다가 튜브헤더의 오리피스를 통한 흡입으로 인하여 수집기 바닥으로 유동이 흘러간다. 수집 헤더 내에서는 0.18 m/s 이상의 유속으로 대체로 균일하게 유지되어 제거된 슬러지의 적체없이 배출되고 침전지 상부에서는 침

전현상이 원활히 이루어짐을 알 수 있었다.

- 2) 회전을 하지 않았을 때, 고점도 (50 cp)인 슬러지로 가정하였을 경우에서도 비교적 이론값과 잘 일치하였다. 그러나 점도가 매우 커지는 경우 (100 cp 이상) 바깥쪽의 오리피스 크기를 확대시키고 안쪽 오리피스의 크기를 줄여주거나 튜브헤더의 크기를 커지는 게 하는 것이 바람직하다.
- 3) 회전을 주었을 때는 고점도 (50 cp)인 슬러지로 가정하였을 경우, 튜브헤더의 회전속도에 의해서 회전하지 않았을 경우 보다 외곽의 오리피스 흡입량이 증가하고 안쪽 오리피스의 흡입량은 감소함이 나타났다. 그러나 증감폭이 이론치에 비하여 크게 차이가 없음을 알 수 있다.

후 기

본 연구는 숭실대학교 교내연구비 지원으로 이루어 졌음.

참고문헌

- (1) Metcalf & Eddy INC., 1991, WASTEWATER ENGINEERING Treatment, Disposal and Reuse, Third Edition, McGraw-Hill Inc.
- (2) Mogens Henze & Rene Dupont, 1993, Rising sludge in secondary settlers due to denirification, Wat. Res. Vol. 27, No. 2, pp. 231~236.
- (3) 환경부, 1998, 하수도 시설기준, 한국수도협회 pp. 364~376.
- (4) 환경부, 1997, 상수도 시설기준, 한국수도협회 pp. 258~259.
- (5) Patankar, S. V., 1980, Numerical Heat Transfer and Fluid Flow, McGraw-Hill, N.Y.
- (6) Rhie, C. M. and Chow, W. L., 1983, "Numerical Study of Turbulent Past an Airfoil with Trailing Edge Separation," AIAA J., Vol. 21, pp. 1527~1532.
- (7) Spalding, D. B., 1972, "A Novel Finite Difference Formulation for Differential Expressions Involving Both First and Second Derivatives," Int. J. Num. Meth. Eng., Vol. 4, pp. 551~559.
- (8) Jang, D. S., Jetli, R. and Acharya, S., 1986, "Comparison of the PISO, SIMPLER, and SIMPLE-C Algorithms for Treatment of the Pressure-Velocity Coupling in Steady Flow Problems," Numerical Heat Transfer, Vol. 10, pp. 209~228.
- (9) CFX4.4, User Manual, 1997, AEA Industrial Technology Harwell Lab., United Kingdom.